

# ОПИСАНИЕ ИЗОБРЕТЕНИЯ К ПАТЕНТУ

(12)

РЕСПУБЛИКА БЕЛАРУСЬ

(19) BY (11) 8346

(13) C1

(46) 2006.08.30

(51)<sup>7</sup> G 01M 1/00, 1/32



НАЦИОНАЛЬНЫЙ ЦЕНТР  
ИНТЕЛЛЕКТУАЛЬНОЙ  
СОБСТВЕННОСТИ

(54)

## СПОСОБ БАЛАНСИРОВКИ РОТОРА

(21) Номер заявки: а 20030590

(22) 2003.06.12

(43) 2004.12.30

(71) Заявитель: Белорусский национальный технический университет (BY)

(72) Авторы: Филонов Игорь Павлович;  
Кривомаз Михаил Михайлович; Курч  
Леонид Витальевич; Политов Иван  
Анатольевич (BY)

(73) Патентообладатель: Белорусский национальный технический университет (BY)

(56) RU 2163008 C2, 2001.

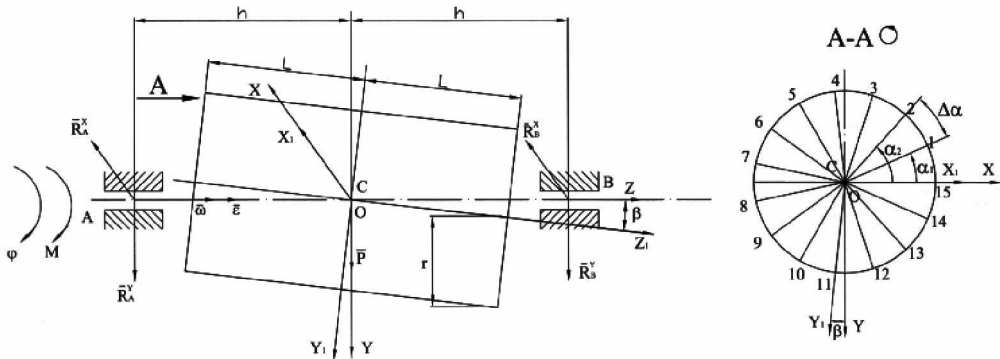
RU 2185609 C2, 2002.

SU 1013784 A, 1983.

JP 57083746 A, 1982.

(57)

Способ балансировки ротора, заключающийся в том, что измеряют дисбалансы, определяют параметры корректирующих воздействий для каждой плоскости коррекции, отвечающих условию требуемой остаточной неуравновешенности путем моделирования ожидаемых последствий корректирующих воздействий и производят корректировку масс, отличающийся тем, что параметры корректирующих воздействий определяют, связывая неподвижную систему координат с опорами ротора, а подвижную систему координат, фиксированную относительно неподвижной системы координат, с ротором, причем начала систем координат выбирают совпадающими с центром масс ротора, вращают ротор с угловой скоростью, изменяющейся по заданному закону, определяют теоретические значения динамических реакций в опорах ротора, моделируя динамическую неуравновешенность, определяют экспериментальные значения динамических реакций в опорах ротора, по полученным теоретическим и экспериментальным значениям динамических реакций опор определяют величину угла между осью вращения ротора и его осью материальной симметрии и рассчитывают величины корректирующих масс с учетом экспериментально определенных динамических реакций и теоретических их значений, рассчитывают координаты установки корректирующих масс, устанавливают рассчитанные корректирующие массы на торцах ротора в соответствующих координатах, проводят повторный пуск ротора



Фиг. 1

с повторением установленной кинематики, определяют экспериментальные значения динамических реакций в опорах ротора, сравнивают их с первоначальными значениями для оценки остаточного дисбаланса, причем в случае недопустимого остаточного дисбаланса дополнительно определяют параметры корректирующих воздействий, отвечающих условию требуемой остаточной неуравновешенности.

---

Изобретение относится к области машино- и приборостроения и может быть использовано в технологических процессах балансировки роторов и в балансировочном оборудовании.

Известен способ балансировки роторов [1], при котором измеряют величины и углы начальных дисбалансов в каждой плоскости коррекции, определяют значения корректирующих масс и проводят корректировку массы ротора. В случае превышения допустимых значений остаточных дисбалансов цикл повторяют. При этом проводят расчет параметров корректирующих воздействий из условия компенсации дисбалансов раздельно в каждой плоскости коррекции и обеспечивают приложение корректирующих воздействий с учетом направления измеренных дисбалансов.

Недостатком существующего способа является низкая производительность и недостаточная точность (сохранение больших остаточных дисбалансов).

Известен способ балансировки роторов [2] - прототип, заключающийся в том, что измеряют дисбалансы, определяют параметры корректирующих воздействий для каждой плоскости коррекции и производят корректировку масс, при этом параметры корректирующих воздействий, отвечающих условию равенства нулю остаточных дисбалансов в номинальных плоскостях коррекции, определяют с учетом смещений центров корректирующих масс от номинальных радиусов и плоскостей коррекции ротора через процедуру моделирования ожидаемых последствий корректирующих воздействий, причем итерационным расчетом сначала для статической балансировки добиваются последовательно в каждой номинальной плоскости коррекции приведения к нулю ожидаемых остаточных дисбалансов, суммируя их с текущими дисбалансами в соответствующей плоскости коррекции, а затем для моментной балансировки добиваются для ротора в целом приведения к нулю ожидаемых равных по модулю и противолежащих остаточных дисбалансов в каждой номинальной плоскости коррекции, после чего производят корректировку масс ротора.

Недостатком данного способа балансировки ротора является несовершенство алгоритма моделирования процедуры поиска корректирующих масс и их расположения в плоскостях коррекции. Предлагаемая процедура имитационного моделирования не в полной мере устраняет методическую погрешность балансировочного цикла. Предполагаемые расчетные формулы не учитывают влияния закона изменения угловой скорости, при котором проявляются динамические реакции в опорах, связанные с несовпадением оси вращения с осью материальной симметрии.

Задача решаемая изобретением - повышение точности балансировочного цикла и производительности за счет проведения численных многовариантных исследований с использованием ЭВМ по предлагаемому алгоритму.

Поставленная задача достигается тем, что в способе балансировки ротора, заключающегося в том, что измеряют дисбалансы, определяют параметры корректирующих воздействий для каждой плоскости коррекции, отвечающих условию требуемой остаточной неуравновешенности путем моделирования ожидаемых последствий корректирующих воздействий и производят корректировку масс, параметры корректирующих воздействий определяют, связывая неподвижную систему координат с опорами ротора, а подвижную систему координат, фиксированную относительно неподвижной системы координат, с ротором, причем начала систем координат выбирают совпадающими с центром масс ротора, врашают ротор с угловой скоростью, изменяющейся по заданному закону, определяют

теоретические значения динамических реакций в опорах ротора, моделируя динамическую неуравновешенность, определяют экспериментальные значения динамических реакций в опорах ротора, по полученным теоретическим и экспериментальным значениям динамических реакций опор определяют величину угла между осью вращения ротора и его осью материальной симметрии и рассчитывают величины корректирующих масс с учетом экспериментально определенных динамических реакций и теоретических их значений, рассчитывают координаты установки корректирующих масс, устанавливают расчетные корректирующие массы на торцах ротора в соответствующих координатах, проводят повторный пуск ротора с повторением установленной кинематики, определяют экспериментальные значения динамических реакций в опорах ротора, сравнивают их с первоначальными значениями для оценки остаточного дисбаланса, причем в случае недопустимого остаточного дисбаланса дополнительно определяют параметры корректирующих воздействий, отвечающих условию требуемой остаточной неуравновешенности.

Сущность предлагаемого способа поясняется чертежами, где на фиг. 1 - изображена схема, поясняющая методику определения динамических реакций, на фиг. 2а - изображено изменение скорости вращения  $\omega$  от угла  $\phi$  поворота ротора, на фиг. 2б - показано изменение аналога скорости  $\omega'$  от угла  $\phi$ , на фиг. 2в - изменение ускорения  $\epsilon$  от угла  $\phi$ , на фиг. 2г - показана зависимость изменения угла  $\phi$  поворота ротора от времени  $t$  при заданной кинематике ротора, на фиг. 3 - поясняется схема корректировки масс ротора путем добавления соответствующих корректирующих масс в соответствии с расчетной схемой (фиг. 1).

Предлагаемый алгоритм динамической балансировки ротора следующий:

1. Выбирают две системы координат: неподвижную OXYZ и подвижную O<sub>1</sub>X<sub>1</sub>Y<sub>1</sub>Z<sub>1</sub>, связанную с уравновешиваемым звеном (ротором) (фиг. 1). В данном случае оба начала систем координат совпадают с центром масс цилиндра, т.е. он статически уравновешен. На торце ротора наносят деления на равном угловом расстоянии. Для этого выбирают положение оси X<sub>1</sub> и, начиная от нее, окружность разбивают на равные углы  $\Delta\alpha = \alpha_{i+1} - \alpha_i$ . Например  $\Delta\alpha = 2\pi/15 = 360^\circ/15 = 24^\circ$  (фиг. 1).

2. Устанавливают ротор радиуса  $r$  и длиной  $2L$  на опоры А и В отстоящие друг от друга на расстоянии  $2h$ . Считаем при этом, что оси X и X<sub>1</sub> совпадают.

3. Ротор вращают с переменной угловой скоростью, изменяя ее от нуля до  $\omega_{max}$  по закону  $\omega = \omega' \cdot \phi$ , где  $\omega' = d\omega/d\phi \approx \Delta\omega/\Delta\phi$ . В нашем примере  $\omega' = const = \omega_{max}/2\pi N_p$ . Это тангенс угла наклона функции  $\omega$  к оси угла поворота  $\phi$ . В данном случае  $\omega = f(\phi)$ , но не от времени как принято  $\omega = f(t)$ . При этом начальное значение  $\omega_{\text{нач}} = 0$  должно совпадать с началом отсчета  $\phi_i$  от нулевого значения  $\phi$ , т.е. от оси X<sub>1</sub>(X). Разгон осуществляют до угла  $\phi_p$ , соответствующего некоторому количеству оборотов  $N_p$ , затрачиваемых на разгон, т.е.  $\phi_p = 2\pi N_p$ . Затем ротор вращают с постоянной скоростью, также задавая некоторое количество оборотов ротора  $N_{\epsilon=0}$  с нулевым ускорением  $\epsilon$ , т.е.  $\Phi_{\omega=\text{const}} = 2\pi \cdot N_{\epsilon=0}$  и, наконец, вращают ротор с замедлением по такому же закону, определяя угловой путь на торможение как  $\phi_t = 2\pi \cdot N_t$ , где  $N_t$  - количество оборотов ротора, необходимое для изменения соотношения  $\omega_{max}$  до нуля. Таким образом, в каждом фиксированном значении  $\phi_i$  - угла поворота ротора мы можем найти значение  $\omega_i$  в фиксированном угловом положении ротора в соответствии с выполненной ранее разбивкой на  $\Delta\alpha$ , так что  $\omega = \omega' \cdot \alpha_i$ . Подобным образом найдем в каждом фиксированном значении  $\phi_i$  и ускорение, также привязанное к значению  $\alpha_i$ , т.е.  $\epsilon_i = \frac{d\omega}{dt} \cdot \frac{d\phi}{d\phi} = \omega_i \cdot \omega'$ . Другими словами, если шаг  $\Delta\alpha$  (дискрета) будет равен шагу  $\Delta\phi$  (дискрета) угла поворота ротора, то  $\omega' = d\omega/d\phi \approx \Delta\omega/\Delta\phi$  с привязкой к конкретному значению угла поворота ротора  $\phi_i$  и конкретному  $\alpha_i$  с периодичностью  $2\pi$ .

Переход от функции  $\omega = f(\phi)$  к  $\epsilon = f(\phi)$  показан на фиг. 2а, 2б и 2в. Зависимость времени  $t$  от угла  $\phi$  поворота ротора приведена на фиг. 2г. При принятом шаге  $\Delta\phi$  время одного оборота на этапе разгона определяется из соотношения:

$$t_{2\pi} = \sum_{i=1}^{15} (\Delta t)_i.$$

Тогда время экспериментального исследования  $T_\theta$  будет определяться суммой времени  $T_p$  разгона, времени  $T_{\epsilon=0}$  вращения с постоянной скоростью и временем  $T_t$  торможения, т.е.  $T_\theta = T_p + T_{\epsilon=0} + T_t$ . Такое представление является обязательным для идентификации силовых характеристик.

4. Экспериментально определяют и записывают значения реакций  $R_A^x, R_A^y$  и  $R_B^x, R_B^y$  в фиксированных значениях  $\varphi_i$  соответствующих  $\alpha_i$ , например после каждого полного поворота на  $2\pi$  на всем протяжении  $N_p, N_{\epsilon=0}, N_t$  или времени  $T_p, T_{\epsilon=0}, T_t$ .

5. Определяют те же реакции теоретически также в фиксированных значениях  $\varphi_i$  соответствующих  $\alpha_i$ . В соответствии с принципом Даламбера для схемы, представленной на фиг. 1 записывают равенство нулю главного вектора и главного момента сил. По аналогии с [3] с. 738 и 741 для нашего случая будем иметь следующие уравнения в проекциях на оси OXYZ в случае совпадения начала координат O и C (см. фиг. 1):

$$\left. \begin{array}{l} R_A^x + R_B^x = 0 \\ R_A^y + R_B^y - P = 0 \\ R_A^y h - R_B^y h - \omega^2 J_{yz} + J_{xz} \epsilon = 0 \\ -R_A^x h + R_B^x h + \omega^2 J_{xz} + J_{yz} \epsilon = 0 \end{array} \right\}. \quad (1)$$

Здесь динамическая неуравновешенность моделируется несовпадением оси симметрии ротора  $Z_1$ , с осью его вращения. Как видно из фиг. 1 эти оси не совпадают. Оси  $Y_1Z_1$  повернуты относительно оси  $X(X_1)$  на угол  $\beta$ . Оси  $OX_1Y_1Z_1$  являются главными центральными осями ротора, т.е. относительно их центробежные моменты инерции равны нулю. Если эти оси совпадают с осями системы координат OXYZ, то ротор будет уравновешен динамически. Поэтому задача сводится к нахождению угла  $\beta$  и перераспределению масс добавлением или удалением в соответствии с этим несовпадением. В уравнениях (1) центробежные моменты не равны нулю т.к. оси OXYZ не являются главными. Рассматривая расположение осей  $OX_1Y_1Z_1$  и OXYZ как результат поворота системы  $OX_1Y_1Z_1$  вокруг оси  $OX_1$  на угол  $\beta$  после некоторых преобразований по аналогии с [3] с. 744 будем иметь

$$J_{xy} = 0; J_{zx} = 0; J_{yz} \neq 0. \quad (2)$$

С учетом выражений (2) уравнения (1) примут вид

$$\left. \begin{array}{l} R_A^x + R_B^x = 0 \\ R_A^y + R_B^y - P = 0 \\ R_A^y h - R_B^y h - \omega^2 J_{yz} = 0 \\ -R_A^x h + R_B^x h + J_{yz} \epsilon = 0 \end{array} \right\}. \quad (3)$$

Решая совместно уравнения 3а и 3г, а также 3б и 3в получим:

$$\left. \begin{array}{l} R_A^x = J_{yz} \frac{\epsilon}{2} \\ R_B^x = -J_{yz} \frac{\epsilon}{2} \\ R_A^y = \frac{P}{2} \left( 1 + \frac{J_{yz} \omega^2}{2hP} \right) \\ R_B^y = \frac{P}{2} \left( 1 - \frac{J_{yz} \omega^2}{2hP} \right) \end{array} \right\}. \quad (4)$$

Для случая вращения ротора с постоянной угловой скоростью  $\omega = \text{const}$ , т.е.  $\varepsilon = 0$ , уравнения (3) примут вид:

$$\left. \begin{array}{l} R_A^x + R_B^x = 0 \\ R_A^y + R_B^y - P = 0 \\ R_A^y h - R_B^y h - \omega^2 J_{yz} = 0 \\ -R_A^x h + R_B^x h = 0 \end{array} \right\} \begin{array}{l} (\hat{a}) \\ (\hat{a}) \\ (\hat{a}) \\ (\tilde{a}) \end{array} \quad (5)$$

Решение уравнения (5) для случая  $\omega = \text{const}$ , т.е.  $\varepsilon = 0$  дает:

$$\left. \begin{array}{l} R_A^x = R_B^x = 0 \\ R_A^y = \frac{P}{2} \left( 1 + \frac{J_{yz} \omega^2}{2hP} \right) \\ R_B^y = \frac{P}{2} \left( 1 - \frac{J_{yz} \omega^2}{2hP} \right) \end{array} \right\} \begin{array}{l} (a) \\ (\hat{b}) \\ (b) \end{array} \quad (6)$$

Подставляя в уравнения (4) значение центробежного момента инерции  $J_{yz} = \frac{P}{2g} \left( \frac{l^2}{3} - \frac{r^2}{4} \right) \cdot \sin 2\beta$  окончательно получим теоретическое значение реакций в опорах:

$$\left. \begin{array}{l} (R_A^x)_O = \frac{\varepsilon P}{4g} \left( \frac{l^2}{3} - \frac{r^2}{4} \right) \sin 2\beta \\ (R_B^x)_O = -\frac{\varepsilon P}{4g} \left( \frac{l^2}{3} - \frac{r^2}{4} \right) \sin 2\beta \\ (R_A^y)_O = \frac{P}{2} \left[ 1 + \frac{\omega^2}{2hg} \left( \frac{l^2}{3} - \frac{r^2}{4} \right) \right] \sin 2\beta \\ (R_B^y)_O = \frac{P}{2} \left[ 1 - \frac{\omega^2}{2hg} \left( \frac{l^2}{3} - \frac{r^2}{4} \right) \right] \sin 2\beta \end{array} \right\} \begin{array}{l} (a) \\ (\hat{a}) \\ (\hat{a}) \\ (\tilde{a}) \end{array} \quad (7)$$

6. Определяют экспериментальные значения реакций  $(R_A^x)_E$ ,  $(R_A^y)_E$  и  $(R_B^x)_E$ ,  $(R_B^y)_E$  при вращении ротора с заданным законом изменения его угловой скорости в соответствии с фиг. 2 при фиксированных значениях  $\Delta\phi_i$  в соответствии с разбивкой на  $\Delta\alpha_i$ . Для каждого из трех участков разгона, вращения с постоянной скоростью и торможения строят графики изменения этих реакций в функции  $\phi_i$  и  $\alpha_i$ .

7. Из уравнений (7) определяют значения углов  $\beta_A$  и  $\beta_B$ . С этой целью перепишем уравнения (7) в виде:

$$\left. \begin{array}{l} (R_A^x)_E = A \sin 2\beta_A \\ (R_B^x)_E = B \sin 2\beta_B \\ (R_A^y)_E = C \sin 2\beta_A \\ (R_B^y)_E = D \sin 2\beta_B \end{array} \right\} \begin{array}{l} (a) \\ (\hat{b}) \\ (b) \\ (\hat{c}) \end{array} \quad (8)$$

# BY 8346 C1 2006.08.30

Как видно из уравнений (7) и (8)

$$\left. \begin{array}{l} A = \frac{\varepsilon P}{4g} \left( \frac{l^2}{3} - \frac{r^2}{4} \right) \\ B = -\frac{\varepsilon P}{4g} \left( \frac{l^2}{3} - \frac{r^2}{4} \right) \\ C = \frac{P}{2} \left[ 1 + \frac{\omega^2}{2hg} \left( \frac{l^2}{3} - \frac{r^2}{4} \right) \right] \\ D = \frac{P}{2} \left[ 1 - \frac{\omega^2}{2hg} \left( \frac{l^2}{3} - \frac{r^2}{4} \right) \right] \end{array} \right\} \begin{array}{l} (a) \\ (\bar{a}) \\ (\hat{a}) \\ (\tilde{a}) \end{array} \quad (9)$$

Из уравнений (8) имеем:

$$\left. \begin{array}{l} (R_A^x)_Y^2 = (R_A^x)_Y^2 + (R_A^y)_Y^2 \approx (A^2 + C^2) \sin^2 2\beta \\ (R_B^x)_Y^2 = (R_B^x)_Y^2 + (R_B^y)_Y^2 \approx (B^2 + D^2) \sin^2 2\beta \end{array} \right\} \quad (10)$$

Из уравнений (10) с учетом экспериментальных значений  $(R_A^x)_\Theta$ ,  $(R_A^y)_\Theta$  и  $(R_B^x)_\Theta$ ,  $(R_B^y)_\Theta$  имеем:

$$\left. \begin{array}{l} \beta_A = 2 \arcsin^2 \frac{(R_A)_\Theta^2}{A^2 + C^2} \\ \beta_B = 2 \arcsin^2 \frac{(R_B)_\Theta^2}{B^2 + D^2} \end{array} \right\} \quad (11)$$

Таким образом значения углов  $\beta_A$  и  $\beta_B$  будут различными для каждого балансируемого ротора и отличными от угла  $\beta$ , определяемого теоретически из формул (7).

В уравнениях (10) в левой части имеем значение экспериментальное, в правой теоретическое. Знак равенства не будет соблюдаться из-за реальных условий, не учитываемых при теоретических расчетах (трение, жесткость, погрешности расположения опорных поверхностей и т.п.) Однако это может быть компенсировано численным поиском корректирующих масс и их углового расположения. Из фиг. 3 видно, что можно расположить корректирующие массы в двух плоскостях и обеспечить равенство нулю реакций  $R_A$  и  $R_B$  (или их приближение к минимальному отклонению от заданных).

8. Определяют расстояния  $r_A^K$  и  $r_B^K$  расположения корректирующих масс  $m_A$  и  $m_B$  на дисках длиной  $L_1$  и  $L_2$ , расположенных на роторе (см. фиг. 3):

$$\left. \begin{array}{l} r_A^K = (L + L_1) \operatorname{tg} \beta_A \\ r_B^K = (L + L_1) \operatorname{tg} \beta_B \end{array} \right\} \quad (12)$$

9. Соотношения между значениями динамических реакций  $R_A^K$  и  $R_B^K$ , величинами корректирующих масс  $m_A$  и  $m_B$  и выбранным законом изменения угловой скорости определяются по аналогии с [3] с. 736:

$$\left. \begin{array}{l} R_A^K = m_A (\omega^2 x_{mA} + \varepsilon y_{mA}) \\ R_B^K = m_B (\omega^2 x_{mB} - \varepsilon y_{mB}) \end{array} \right\}, \quad (13)$$

$x_{mA}$ ,  $y_{mA}$ ,  $x_{mB}$ ,  $y_{mB}$  - координаты центров этих масс (см. фиг. 3).

10. Определяют координаты центров масс по следующим формулам с учетом соотношений (12):

# BY 8346 С1 2006.08.30

$$\left. \begin{array}{l} x_{m_A} = r_A^K \cos \alpha = [(L + L_1) \operatorname{tg} \beta_A] \cos \alpha \\ y_{m_A} = r_A^K \sin \alpha = [(L + L_1) \operatorname{tg} \beta_A] \sin \alpha \\ x_{m_B} = r_B^K \cos \alpha = [(L + L_1) \operatorname{tg} \beta_B] \cos \alpha \\ y_{m_B} = r_B^K \sin \alpha = [(L + L_1) \operatorname{tg} \beta_B] \sin \alpha \end{array} \right\} \quad (14)$$

11. Определяют величины корректирующих масс используя уравнения (13):

$$\left. \begin{array}{l} m_A^T = \frac{R_A^K}{\omega^2 x_{m_A} + \varepsilon y_{m_A}} \\ m_B^T = \frac{R_B^K}{\omega^2 y_{m_B} + \varepsilon x_{m_B}} \end{array} \right\} \quad (15)$$

Учитывая экспериментальные значения динамических реакций  $(R_A)_3$  и  $(R_B)_3$  (см. уравнения (10)), уравнения (15) дают:

$$\left. \begin{array}{l} m_A^3 \approx \frac{(R_A)_3}{\omega^2 x_{m_A} + \varepsilon y_{m_A}} \\ m_B^3 \approx \frac{(R_B)_3}{\omega^2 y_{m_B} + \varepsilon x_{m_B}} \end{array} \right\} \quad (16)$$

12. Решают уравнения (16) с использованием уравнений (14) перебирая значения  $\alpha$  от 0 до  $2\pi$  с шагом  $\Delta\alpha_i$  (см. фиг. 1).

13. Определяют значение корректирующих масс  $m_A^T$  и  $m_B^T$ ,  $m_A^3$  и  $m_B^3$  и углов их установки путем перебора, обеспечивающего поиск минимальной разницы их значений, обеспечивающих минимальное значение остаточных динамических реакций.

14. На торце уравновешиваемого ротора (фиг. 3) устанавливают диск с корректирующими массами и углами расположения, определенными в результате проведенных численных исследований.

15. Проводят повторный пуск ротора с повторением кинематики и с определением реакций и сравнивают их с первоначальными значениями.

16. Если их расхождение недопустимо большое, проводят дополнительные численные исследования по снижению реакций до допустимого уровня путем поиска дополнительной массы или ее расположения по отношению к оси вращения и углового положения.

Таким образом, предлагаемый способ обеспечивает:

1. Увеличение производительности, что достигается возможным одним пуском - остановкой стенда (при грубой остаточной неуравновешенности).

2. Увеличение точности (снижение уровня остаточной неуравновешенности) за счет определения реакций в условиях непостоянной скорости.

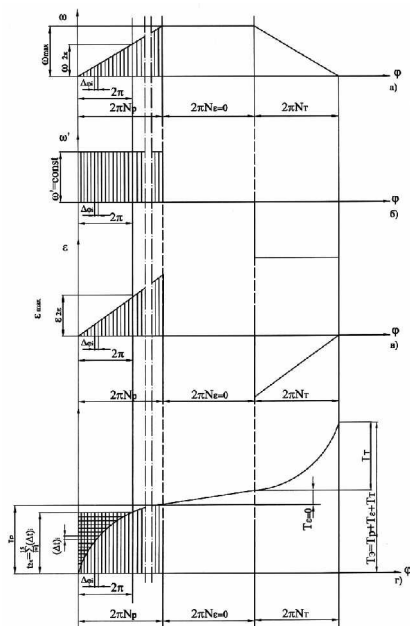
3. Компьютерное сопровождение процесса балансировки, в процессе которого все исходные параметры рассчитываются с использованием счетных программ, разработанных по предлагаемому алгоритму, не прибегая к переводу электрических сигналов в двоичные и наоборот.

4. Устранение необходимости в квалифицированных наладчиках. Они заменяются инженером - программистом (пользователем программы) с допуском его к исходному коду программы с целью дальнейшего совершенствования многовариантных численных исследований и снижения их трудоемкости, а также обработки частных случаев, встречающихся на практике.

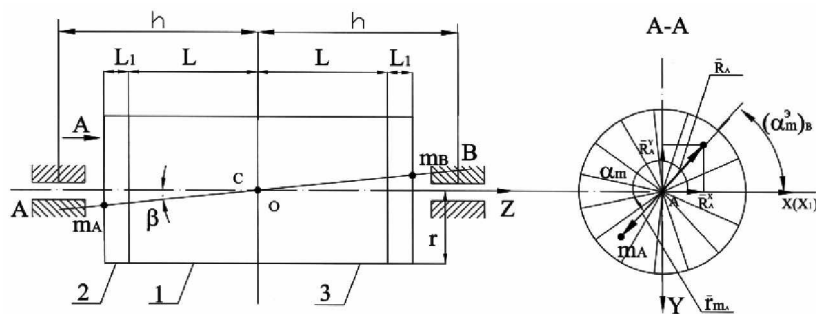
Предлагаемый способ, в отличие от известных, как бы разделяет технологию балансировки на два раздельных направления: экспериментальный и расчетный (теоретический) с их объединением, обеспечивающим численные многовариантные исследования, приводящие к поставленной цели.

Источники информации:

1. Левит М.Е., Рыженков В.М. Балансировка деталей и узлов. - М.: Машиностроение, 1986. - С. 69-91.
2. А.с. СССР 2163008, МПК G 01M 1/00, 2001.
3. Сахарный Н.Ф. Курс теоретической механики. - М: Высшая школа, 1964. - С. 547-658, 742-744.
4. Филонов И.П., Анципорович П.П., Акулич В.К. Теория механизмов, машин и манипуляторов. - Мн.: Дизайн ПРО, 1998. - С. 370-390.



Фиг. 2



Фиг. 3